

Математический институт имени В.А.Стеклова

*A.G.SERGEEV*

**МАТЕМАТИЧЕСКАЯ МОДЕЛЬ  
РАСПРОСТРАНЕНИЯ ПАНДЕМИИ ТИПА  
COVID-19**

Работа выполнена совместно с А.Х.Хачатряном и Х.А.Хачатряном

Москва 2021

## Введение

Рассматривается математическая модель распространения пандемии типа COVID-19. Вирус, являющийся возбудителем этой болезни возник в конце 2019 года и в течение следующего года проник в большинство стран мира. Математическая модель возникшей пандемии, носящая название **SEIR-модели** (от английских слов Susceptible, Exposed, Infected, Recovered) описывается системой четырех обыкновенных динамических уравнений, приведенной ниже.

Указанная система сводится к нелинейному интегральному уравнению типа Гаммерштейна–Вольтерра. Для него справедливы теорема существования и единственности неотрицательного, ограниченного и суммируемого решения.

На основании реальных данных о заболевании COVID-19 во Франции и Италии выполнены численные расчеты, показывающие отсутствие второй волны для полученного решения.

# Математическая модель распространения пандемии

Рассматривается математическая модель распространения инфекционного заболевания, известного под названием **COVID-19**. Возбудителем этой болезни является вирус **SARS-CoV-2**, принадлежащий к семейству коронавирусов. Этот вирус появился, по-видимому, в **Ухани** (КНР) в конце 2019 года, а 11 марта 2020 года Всемирная Организация Здравоохранения (ВОЗ) объявила о возникновении **пандемии**, порожденной этим вирусом.

Распространение COVID-19 характеризуется следующими контрольными параметрами, являющимися функциями от времени  $t$ :

1.  $S(t)$  — общее число восприимчивых пациентов (susceptible patients);
2.  $E(t)$  — общее число пациентов, подвергнувшихся действию заболевания (exposed patients);
3.  $I(t)$  — общее число заболевших пациентов (infected patients);
4.  $R(t)$  — общее число вылечившихся или скончавшихся пациентов (recovered or dead patients).

Корректная интерпретация указанных параметров дается уравнениями SEIR-модели, которые приводятся ниже. Однако следует отметить, что численные значения некоторых из них могут быть найдены лишь приблизительно. Например, в определение функции  $I(t)$  первоначально включались только пациенты с серьезными и очевидными симптомами заболевания. Затем стали учитывать вообще всех пациентов с симптомами COVID-19. Наконец, дальнейшие исследования показали, что в определении этой функции необходимо учитывать и бессимптомных больных.

Перейдем к описанию SEIR-модели, принадлежащей к числу так называемых камерных (compartimental) моделей, изучающихся в современной эпидемиологии. **SEIR-модель** описывается системой из обыкновенных дифференциальных уравнений следующего вида:

$$\left\{ \begin{array}{l} \frac{dS(t)}{dt} = -\lambda(t)S(t)I(t), \\ \frac{dE(t)}{dt} = \lambda(t)S(t)I(t) - \alpha E(t), \\ \frac{dI(t)}{dt} = \alpha E(t) - \gamma I(t), \\ \frac{dR(t)}{dt} = \gamma I(t), \end{array} \right. \quad (1a)$$

$$\left\{ \begin{array}{l} \frac{dS(t)}{dt} = -\lambda(t)S(t)I(t) \\ \frac{dE(t)}{dt} = \lambda(t)S(t)I(t) - \alpha E(t), \end{array} \right. \quad (1b)$$

$$\left\{ \begin{array}{l} \frac{dI(t)}{dt} = \alpha E(t) - \gamma I(t), \\ \frac{dR(t)}{dt} = \gamma I(t), \end{array} \right. \quad (1c)$$

$$\left\{ \begin{array}{l} \frac{dS(t)}{dt} = -\lambda(t)S(t)I(t) \\ \frac{dE(t)}{dt} = \lambda(t)S(t)I(t) - \alpha E(t) \\ \frac{dI(t)}{dt} = \alpha E(t) - \gamma I(t), \end{array} \right. \quad (1d)$$

где параметры  $\gamma$ ,  $\lambda$ ,  $\alpha$  имеют следующий смысл:

1.  $\gamma > 0$  — индекс выздоровления/смерти;
2.  $\lambda_0 > 0$  — индекс инфицируемости восприимчивых пациентов;
3.  $\lambda = \lambda(t) \geq 0$  — относительный индекс инфицируемости (по отношению к начальному значению  $S_0 = S(0)$ ), причем  
$$\sup_{t \geq 0} \lambda(t) = \frac{\lambda_0}{S_0} > 0;$$
4.  $\alpha > 0$  — величина, обратная к инкубационному периоду  $\tau$ .

Уравнения SEIR-модели выведены при следующих предположениях. Общее число пациентов (популяция) фиксировано и не меняется со временем (иными словами, скончавшиеся пациенты по-прежнему включаются в это число). Вся популяция делится на четыре класса, состоящие из восприимчивых ( $S$ ), подвергшихся ( $E$ ), инфицированных ( $I$ ) и выздоровевших/скончавшихся ( $R$ ) пациентов. Предполагается, что выздоровевшие пациенты ( $R$ ) не восприимчивы к повторной инфекции. Восприимчивые пациенты ( $S$ ) после инфицирования могут либо выздороветь, либо умереть, т.е.  $(S) \rightarrow (I) \rightarrow (R)$ . Подвергшиеся пациенты ( $E$ ) не являются переносчиками инфекции, но могут ими стать, перейдя в категорию ( $I$ ).

Стоит, пожалуй, прокомментировать предположение о невозможности повторной инфекции. Это допущение основано на том, что антитела, сформировавшиеся в результате заболевания COVID-19, сохраняются (по разным данным) от 2-3 месяцев до полугода. Поэтому ограничиваясь этим периодом, можно считать, что выздоровевшие пациенты обладают иммунитетом к повторной инфекции.

Важной характеристикой заболевания, описываемого SEIR-уравнениями, является так называемая **средняя репродуктивность вируса**, задаваемая формулой

$$\tilde{R}_0 = \frac{\lambda_0}{\gamma}.$$

Поясним смысл уравнений SEIR-модели.

**Первое уравнение** (1a) означает, что число восприимчивых пациентов ( $S$ ) может уменьшаться по отношению к начальному значению  $S_0$  только за счет их инфицирования. Количественной характеристикой этого процесса служит относительный индекс инфицируемости  $\lambda$ .

**Второе уравнение** (1b) означает, что число подвергнувшихся инфекции пациентов ( $E$ ) может возрастать за счет добавления инфицированных пациентов ( $I$ ) из числа восприимчивых ( $S$ ) (это число также характеризуется относительным индексом инфицирования  $\lambda$ ), либо уменьшаться пропорционально величине  $\alpha$ , обратной к инкубационному периоду  $\tau$ .

Смысл **третьего уравнения** (1c) состоит в том, что число инфицированных пациентов ( $I$ ) увеличивается за счет инфицирования подвергнувшихся пациентов ( $E$ ) (их число пропорционально величине  $\alpha$ ) и уменьшается за счет выздоровления/смерти пациентов (это число характеризуется индексом  $\gamma$ ).

Наконец, **четвертое уравнение** (1d) говорит о том, что число выздоровевших/скончавшихся пациентов ( $R$ ) возрастает за счет инфицированных пациентов ( $I$ ) пропорционально индексу  $\gamma$ .

Как уже отмечалось выше, некоторые контрольные параметры определены неоднозначно и весьма чувствительны по отношению к начальным данным и мерам, принимаемым в процессе развития заболевания. Поэтому представляется перспективным использование [стохастической SEIR-модели](#), предложенной итальянскими математиками Фаранда и Альберти.

## Численные значения контрольных параметров и практические выводы

Приведем численные значения контрольных параметров, полученные в ходе наблюдений. Их можно найти на сайте Института Джонса Хопкинса по адресу:

<https://systems.jhu.edu/research/public-health/ncov>

и на официальном сайте Министерства здравоохранения России по адресу:

<https://covid19.rosminzdrav.ru>

Ограничимся данными по Уханю и Италии.

По данным из Уханя на январь 2020 года параметр  $\tilde{R}_0$  оценивался как  $\tilde{R}_0 \approx 2.68$ , откуда следует, что  $\gamma \approx 0.37$ .

Инкубационный период составлял от 2 до 11 дней, при этом  $\alpha \approx 0.27$ .

По данным из Италии  $\tilde{R}_0 \approx 2.68$ ,  $\gamma \approx 0.37$ ,  $\lambda_0 \approx 1$ . Было инфицировано около 9.6% населения. Аналогичные данные имеют место и для Франции.

Какие же меры принимались (и могут быть приняты в дальнейшем) по борьбе с COVID-19? Приведем выводы из работы Фаранда и Альберти, основанные на результатах численных экспериментов, проведенных в рамках стохастической SEIR-модели.

Во всех странах, подвергшихся воздействию COVID-19, на пике заболевания (т.н. первая волна) принимались серьезные защитные меры и строгие ограничения (т.н. **lockdown**). После введения lockdown во Франции и Италии наблюдалось снижение индекса репродуктивности вируса  $\tilde{R}_0$  с начального значения  $\tilde{R}_0 \approx 2.68$  до 0.75, т.е. на 75%.

После окончания первой волны дальнейшая борьба с последствиями болезни может проходить по трем сценариям:

- 1. Снятие всех ограничений.**
- 2. Сохранение дистанционных ограничений.**
- 3. Сохранение основных ограничений.**

Под дистанционными ограничениями понимается ограничение мобильности в рамках данного района, отказ от дальних поездок. Основные ограничения включают в себя ограничение мобильности, ношение масок и перчаток, запрет массовых собраний и развлечений.

Укажем основные выводы из численных экспериментов, выполненных в работе Фаранда и Альберти применительно к Франции и Италии. **Первый сценарий** приводит к росту числа инфекций и возникновению ярко выраженной второй волны. В **втором сценарии** при ограничении подвижности на 50% также возникает вторая волна той же интенсивности, что и первая, но большей продолжительности. **В третьем сценарии** вторая волна не наблюдается. Заметим, что меры, принимаемые в третьем сценарии, могут оказаться неэффективными при больших значениях  $\tilde{R}_0 \gg 1$ .

## Разрешимость системы нелинейных дифференциальных уравнений (1a) – (1d)

Рассмотрим систему дифференциальных уравнений (1a) – (1d) с начальными условиями:

$$S(0) = S_0, \quad E(0) = E_0, \quad I(0) = I_0, \quad R(0) = R_0$$

относительно искомых непрерывно дифференцируемых на  $\mathbb{R}^+$  функций  $S, E, I, R$ . Кроме того, предполагается, что функция  $\lambda(t)$ , фигурирующая в уравнениях SEIR-модели, неотрицательна и непрерывна на  $\mathbb{R}^+$ .

**Нашей целью является построение глобального решения сформулированной начальной задачи для системы (1a) – (1d) в классе непрерывно дифференцируемых на  $\mathbb{R}^+$  функций и исследование асимптотического поведения построенного решения на бесконечности.**

Из уравнения (1a) следует, что

$$S(t) = S_0 \exp \left( - \int_0^t \lambda(\tau) I(\tau) d\tau \right), \quad t \in \mathbb{R}^+.$$

Кроме того

$$\frac{d^2 I}{dt^2} = \alpha \frac{dE}{dt} - \gamma \frac{dI}{dt}, \quad t \in \mathbb{R}^+.$$

Из двух последних уравнений с учетом соотношений (1b), (1c) получаем следующее интегро-дифференциальное уравнение на исковую функцию  $I(t)$ :

$$\begin{aligned} \frac{d^2 I}{dt^2} + (\alpha + \gamma) \frac{dI}{dt} + \alpha \gamma I(t) &= \\ &= \alpha S_0 \lambda(t) I(t) \exp \left( - \int_0^t \lambda(\tau) I(\tau) d\tau \right), \quad t \in \mathbb{R}^+. \end{aligned}$$

Это уравнение сводится к нелинейному интегральному уравнению вида

$$I(t) = g(t) + \int_0^t V(t - \tau) \lambda(\tau) I(\tau) \exp \left( - \int_0^\tau \lambda(y) I(y) dy \right) d\tau, \quad (2)$$

где  $g(t) \geq 0$  и  $V(t)$  – известные функции. Полученное уравнение решается методом последовательных приближений.

Сформулируем основной результат.

## ТЕОРЕМА

Предположим, что все константы  $\gamma, \alpha, S_0$  положительны и при некотором  $\delta > 0$  выполняется неравенство

$$\lambda(t) \leq \frac{\lambda_0}{S_0} e^{-\delta t}.$$

Тогда уравнение (2) имеет единственное непрерывно дифференцируемое решение в классе функций  $I(t)$ , удовлетворяющих неравенству

$$e^{-\delta t} |I(t)| \leq \frac{\sup g(t)}{1 - \chi(\delta)}, \quad t \in \mathbb{R}^+,$$

где  $\chi(t) < 1$  – известная функция, монотонно убывающая по  $t \in \mathbb{R}^+$ .

Построенное решение обладает следующими дополнительными свойствами:

$$\lim_{t \rightarrow \infty} I(t) = 0, \quad I \in L_1(\mathbb{R}^+) \cap M(\mathbb{R}^+),$$

где  $M(\mathbb{R}^+)$  – пространство ограниченных функций на  $\mathbb{R}^+$ .

# Результаты численных расчетов

Приведем результаты численных расчетов, выполненных для значений параметров, приведенных выше.

Мы принимаем следующие начальные условия для функции, определяющей число инфицированных, и ее производной

$$I_0 = I(0) = 0, \quad I_1 = I'(0) = \varepsilon > 0.$$

Тогда

$$g(t) = \frac{\varepsilon}{\gamma - \alpha} (e^{-\alpha t} - e^{-\gamma t})$$

и

$$\sup_{t \in \mathbb{R}^+} g(t) = \frac{\varepsilon}{\gamma - \alpha} \left[ \left(\frac{\gamma}{\alpha}\right)^{-\frac{\alpha}{\gamma-\alpha}} - \left(\frac{\gamma}{\alpha}\right)^{-\frac{\gamma}{\gamma-\alpha}} \right]$$

При  $\gamma = 0,37$ ,  $\alpha = 0,27$  получаем

$$\sup_{t \in \mathbb{R}^+} g(t) = 1,15\varepsilon.$$

Будем предполагать, что относительный индекс инфицируемости  $\lambda(t)$  изменяется во времени как

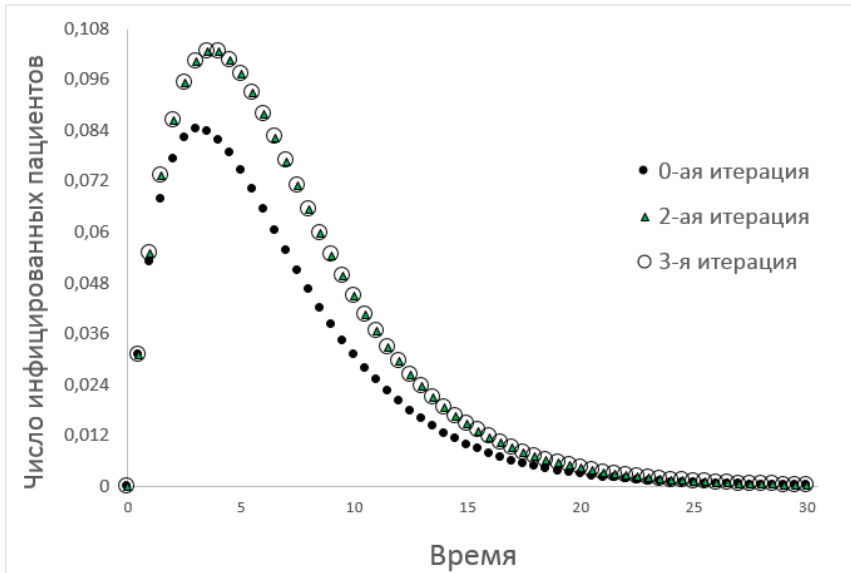
$$\lambda(t) = \frac{\lambda_0}{S_0} e^{-\delta t},$$

где  $\lambda_0 = \tilde{R}_0 \gamma = 0.9916$ .

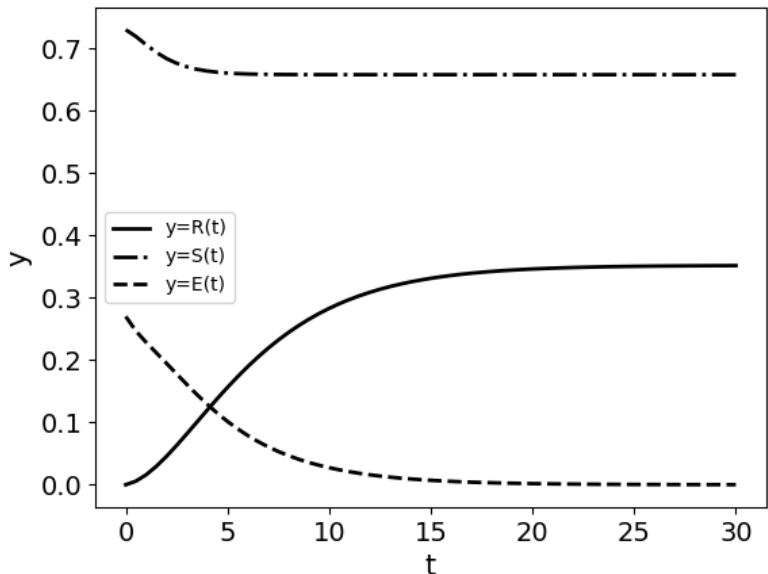
Рассмотрим последовательные приближения для уравнения (2)

$$\begin{aligned} I^{(n+1)}(t) &= \frac{\varepsilon}{\gamma - \alpha} (e^{-\alpha t} - e^{-\gamma t}) + \\ &+ \frac{\alpha S_0}{\gamma - \alpha} \int_0^t [e^{-\alpha(t-\tau)} - e^{-\gamma(t-\tau)}] \lambda(\tau) I^{(n)}(\tau) \cdot \\ &\quad \cdot \exp \left( - \int_0^\tau \lambda(y) I^{(n)}(y) dy \right) d\tau, \\ I^{(0)}(t) &= \frac{\varepsilon}{\gamma - \alpha} (e^{-\alpha t} - e^{-\gamma t}), \quad n = 0, 1, 2, \dots, \quad t \in \mathbb{R}^+. \end{aligned}$$

На рис. 1 изображен профиль числа инфицированных пациентов в рамках SEIR-модели для COVID-19.



На рис. 2 отображены профили числа восприимчивых пациентов  $S(t)$  ( $S(0) = S_0 = 0.73$ ), общее число подвергнувшихся действию заболевания пациентов  $E(t)$  ( $E(0) = \frac{\varepsilon}{\alpha}$ ) и число вылечившихся или скончавшихся пациентов  $R(t)$  ( $R(0) = 0$ ).



Во Франции в течение шести месяцев было зарегистрировано от 10 до 11 процентов зараженных от общего числа восприимчивых. Это соответствует скорости инфицируемости порядка  $\varepsilon = 0.073$ . При этом  $I_{max} = 0.103$  при  $t = 3.5$ . Число восприимчивых во Франции в начальный момент времени (27.12.2019) было  $6.7 \cdot 10^7$ , из них порядка  $6.9 \cdot 10^6$  были инфицированы в течении 105 дней. Численные расчеты реализованы с помощью программы C++.

## Литература

1. А.Г.Сергеев, А.Х.Хачатрян, Х.А.Хачатрян, Математическая модель распространения пандемии типа COVID-19, принята к печати в "Трудах ММО ", 2022
2. М.Н.Асатрян, Э.Р.Герасимук, Д.Ю.Логунов, Т.А.Семененко, А.Л.Гинцбург, Прогнозирование динамики заболеваемости COVID-19 и планирование мероприятий по вакцинопрофилактике населения Москвы на основе математического моделирования, Журнал микробиологии, эпидемиологии и иммунологии 97(202), 289-302.
3. F.Brauer, Compartmental models in epidemiology, In: Mathematical Epidemiology, Springer, 2008; 19–79.

4. D.Faranda, T.Alberti, Modelling the second wave of COVID-19 infections in France and Italy via a Stochastic SEIR model, *Chaos: An Interdisciplinary Journal of Nonlinear Science*, Amer. J. Physics 30(2020); hal-02668318.
5. R.Ghomi, N.Asgari, A.Hajiheydari, R.Esteki, F.Biyabanaki, F.Nasirinasab. The COVID-19 pandemic: a systematic review of the current evidence, *Инфекция и иммунитет* 10(2020), N 4, 655-663.